



УДК 621.318.3

© 2009

Член-корреспондент НАН Украины А. Е. Божко

О влиянии фазового сдвига между напряжением и током на тяговое усилие и колебания в электромагнитном вибровозбудителе

Показано, що фазовий зсув між напругою та струмом у електромагнітному вібровозбудувачі збільшує кількість частот у гармоніках тягового зусилля та коливання якоря.

Электромагнитные вибровозбудители (ЭМВ) представляют собой осциллирующие машины, применяемые в различных технологических процессах, для движения конвейеров, динамических испытаний объектов и др. [1]. Несмотря на достаточно глубокое исследование ЭМВ, до сих пор был упущен вопрос о влиянии на динамические характеристики ЭМВ угла сдвига (ϕ) между задающим гармоническим напряжением $U(t) = U_a \sin \omega t$ и обусловленным им электрическим током $i(t) = I_a \sin(\omega t - \varphi)$ в обмотке ЭМВ. Здесь t — время; U_a, I_a — амплитуды напряжения и тока соответственно; ω — круговая частота ($\omega = 2\pi f$, f — частота, Гц).

Рассмотрим более подробно этот вопрос. Для этого представим на рис. 1 электромагнитомеханическую схему ЭМВ, где М — магнитопровод; Я — якорь; Н — механическая нагрузка; О — обмотка; Пр_я, Пр_м — пружины; РМ — реактивная масса; К — корпус;  — фундамент; U — напряжение; I — ток; δ_0 — воздушный зазор; Φ — магнитный поток.

Якорь совместно с механической нагрузкой колеблется под действием наведенного в ЭМВ магнитного потока Φ . Для этих колебаний необходимо тяговое усилие F , действующее на якорь, которое равно 2

$$F = \frac{dW_e}{d\delta}, \quad (1)$$

где $W_e = Li^2/2$ — электрическая энергия в ЭМВ; δ — переменный воздушный зазор; L — индуктивность обмотки. Подставим значение W_e в выражение (1), считая, что $L = f(\delta)$ и

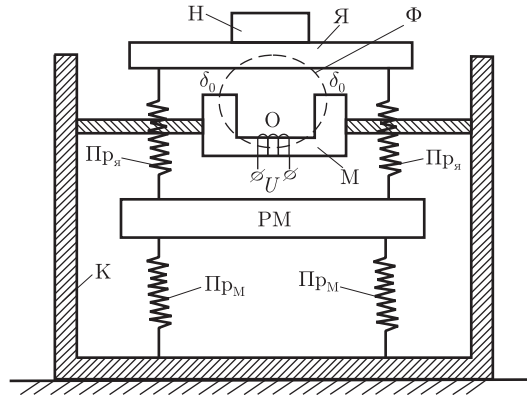


Рис. 1

$i = f(\delta)$. В прежних исследованиях [2–4] принималось, что $i \neq f(\delta)$, где f — обозначение функции. В предварительном результате имеем

$$F(t) = \frac{dW_e}{d\delta} = \frac{1}{2}i^2 \frac{dL}{d\delta} + iL \frac{di}{d\delta}. \quad (2)$$

Ранее второе слагаемое в (2) не учитывалось и тогда тяговое усилие представлялось в виде формулы Максвелла [1, 2]. Однако покажем, что второе слагаемое в (2) является влияющим на величину F . Осуществим связь тягового усилия F и задающего напряжения $U(t) = U_a \sin \omega t$. Для этого из уравнения электрической цепи $U(t) = U_a \sin \omega t = ri(t) + Ldi(t)/dt$ получим вынужденную составляющую тока $i(t)$ в виде

$$i(t) = \frac{U_a}{\sqrt{r^2 + (\omega L)^2}} \sin(\omega t - \varphi). \quad (3)$$

Здесь r — активное сопротивление электрической цепи. Оно включает в себя активное сопротивление источника напряжения $U(t)$ в сумме с активным сопротивлением провода обмотки. Угол

$$\varphi = \arctg \frac{\omega L}{r}. \quad (4)$$

В свою очередь [2],

$$L = w^2 G = \mu_0 S \frac{w^2}{2\delta}, \quad (5)$$

где G — магнитная проводимость в ЭМВ; μ_0 — магнитная проницаемость воздуха; S — площадь поперечного сечения полюса магнитопровода у воздушного зазора δ_0 ; w — число витков провода в обмотке. Подставим в (2) выражения (3)–(5). Получим

$$F(t) = \frac{-1}{4} \frac{U_a^2 \sin^2(\omega t - \varphi)}{r^2 + \left(\omega w^2 \frac{\mu_0 S}{2\delta}\right)^2} w^2 \mu_0 S \frac{d}{d\delta} \left(\frac{1}{\delta}\right) + \frac{U_a^2 \sin(\omega t - \varphi)}{\sqrt{r^2 + \left(\omega w^2 \frac{\mu_0 S}{2\delta}\right)^2}} w^2 \frac{\mu_0 S}{2\delta} \frac{d}{d\delta} \left[\frac{\sin(\omega t - \varphi)}{\sqrt{r^2 + \left(\omega w^2 \frac{\mu_0 S}{2\delta}\right)^2}} \right]. \quad (6)$$

Осуществим дифференцирование каждой оставляющей в (6), учитывая во второй составляющей, что $\varphi = (4)$. В результате получим выражение тягового усилия $F(t)$ в виде

$$F(t) = F_1(t) + F_2(t), \quad (7)$$

где

$$F_1(t) = \left[\frac{-U_a^w \sin(\omega t - \varphi)}{2\delta \sqrt{r^2 + \left(\omega w^2 \frac{\mu_0 S}{2\delta}\right)^2}} \right]^2 \mu_0 S, \quad (8)$$

$$\begin{aligned} F_2(t) &= \frac{U_a^2 w^2 \mu_0 S}{2\delta \sqrt{r^2 + \left(\omega w^2 \frac{\mu_0 S}{2\delta}\right)^2}} \frac{d}{d\delta} \left[\frac{\sin\left(\omega t - \arctg \frac{\omega w^2 \mu_0 S}{2\delta}\right)}{2\delta \sqrt{r^2 + \left(\omega w^2 \frac{\mu_0 S}{2\delta}\right)^2}} \right] = \\ &= \frac{\mu_0 S}{2\delta} \frac{(U_a w)^2}{\sqrt{r^2 + \left(\omega w^2 \frac{\mu_0 S}{2\delta}\right)^2}} \left[(-1) \frac{2\omega w^2 \mu_0 S r \cos(\omega t - \varphi)}{(2\delta r)^2 + (\omega w^2 \mu_0 S)^2} \sqrt{r^2 + \left(\omega w^2 \frac{\mu_0 S}{2\delta}\right)^2} - \right. \\ &\quad \left. - \left(\omega w^2 \frac{\mu_0 S}{2\delta}\right)^2 \frac{1}{\delta^3} \frac{\sin(\omega t - \varphi)}{\left(r^2 + \left(\omega w^2 \frac{\mu_0 S}{2\delta}\right)^2\right)^2 \sqrt{r^2 + \left(\omega w^2 \frac{\mu_0 S}{2\delta}\right)^2}} \right]. \quad (9) \end{aligned}$$

Выражение (7) с учетом (8), (9) в общем виде следующее:

$$F(t) = a \sin^2(\omega t - \varphi) + b \cos(\omega t - \varphi) + d \sin(\omega t - \varphi), \quad (10)$$

где a, b, d – множители, стоящие в (7), (8), (9) перед $\sin^2(\omega t - \varphi)$, $b \cos(\omega t - \varphi)$, $d \sin(\omega t - \varphi)$ соответственно.

В (10) проведем тригонометрические преобразования [5]

$$\begin{aligned} \sin^2(\omega t - \varphi) &= \frac{1}{2}[1 - \cos 2(\omega t - \varphi)]; \\ b \cos(\omega t - \varphi) &= -b \sin\left(\omega t - \varphi - \frac{\pi}{2}\right); \\ -b \sin\left(\omega t - \varphi - \frac{\pi}{2}\right) + d \sin(\omega t - \varphi) &= A_1 \sin(\omega t + \Psi_1) + A_2 \sin(\omega t + \Psi_2) = A \sin(\omega t + \Psi), \end{aligned}$$

где

$$\begin{aligned} A &= \sqrt{A_1^2 + A_2^2 + 2A_1 A_2 \cos(\Psi_2 - \Psi_1)}; & \Psi &= \arctg \frac{A_1 \sin \Psi_1 + A_2 \sin \Psi_2}{A_1 \cos \Psi_1 + A_2 \cos \Psi_2}; \\ A_1 &= -b; & A_2 &= d; & \Psi_1 &= -\left(\varphi + \frac{\pi}{2}\right); & \Psi_2 &= -\varphi. \end{aligned}$$

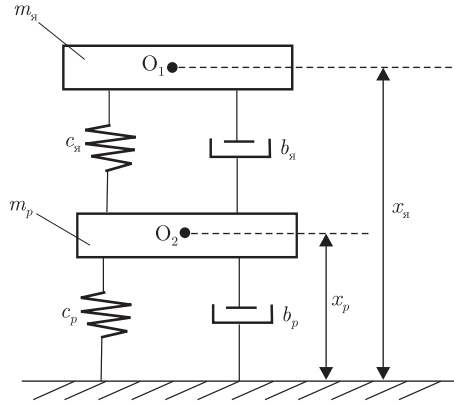


Рис. 2

С учетом тригонометрических преобразований запишем

$$F(t) = \frac{1}{2}a - \frac{1}{2}a \cos 2(\omega t - \varphi) + A \sin(\omega t + \Psi). \quad (11)$$

Как видим из (11), в тяговом усилии ЭМВ имеется постоянная составляющая $F_0 = a/2$, гармоническая составляющая $a \cos 2(\omega t - \varphi)/2$ и еще одна гармоническая составляющая $A \sin(\omega t + \Psi)$. В отличие от прежних решений в данном тяговом усилии (11) кроме гармоника с частотой 2ω имеется гармоника с заданной частотой ω . Для вибровозбудителей, предназначенных работать в технологических процессах, такая совокупность гармоник с 2ω и ω мало значима, но для электромагнитных вибростендов она нежелательна. Тяговое усилие (11), действуя на Я, возбуждает в нем и в РМ колебания с частотами ω и 2ω . Эти колебания определяются на основе рассмотрения механической схемы ЭМВ, изображенной на рис. 2, где $m_я$ — масса Я + Н; m_p — масса РМ; $c_я, c_p$ — коэффициенты жесткости Пр_я, Пр_p соответственно; $b_я, b_p$ — коэффициенты диссипации; $x_я, x_p$ — перемещения Я + Н и РМ соответственно.

Как видно из рис. 2, механическая часть ЭМВ представляет собой колебательную систему с двумя степенями свободы. Дифференциальные уравнения движения этой системы следующие:

$$\left. \begin{aligned} m_я \frac{d^2 x_я}{dt^2} + b_я \frac{dx_я}{dt} + c_я x_я &= F(t) + b_я \frac{dx_p}{dt} + c_p x_p; \\ m_p \frac{d^2 x_p}{dt^2} + (b_я + b_p) \frac{dx_p}{dt} + (c_я + c_p) x_p &= b_я \frac{dx_я}{dt} + c_я x_я. \end{aligned} \right\} \quad (12)$$

Из (12) с учетом (11) видно, что Я + Н, а также РМ имеют постоянные смещения

$$x_я0 = \frac{1}{c_я} \left(\frac{1}{2}a + c_я x_p0 \right), \quad x_p0 = \frac{c_я x_я0}{c_я + c_p},$$

откуда

$$x_я0 = \frac{a}{2} \frac{c_я + c_p}{c_я c_p}; \quad x_p0 = \frac{a}{2c_p}.$$

Система (12) является линейной. Поэтому к ней применяется принцип суперпозиции. Переменные составляющие колебаний [6] Я + Н

$$x_{я1}(t) = \frac{1}{2} \frac{a \cos[2(\omega t - \varphi) - \Psi_{kc1}]}{m_{я} \sqrt{(4\omega^2 - \omega_{0я}^2)^2 + \left(\frac{b_{я} 2\omega}{m_{я}}\right)^2}}, \quad (13)$$

$$x_{я2}(t) = \frac{A \sin[(\omega t + \Psi) - \Psi_{kc2}]}{m_{я} \sqrt{(\omega^2 - \omega_{0я}^2)^2 + \left(\frac{b_{я} \omega}{m_{я}}\right)^2}}, \quad (14)$$

$$x_{я3}(t) = \frac{\left| b_{я} \frac{dx_p}{dt}(2\omega) + c_{я} x_p(2\omega) \right| \cos[2(\omega t - \varphi) - \Psi_{kc} - \Psi_p]}{m_{я} \sqrt{(4\omega^2 - \omega_{0я}^2)^2 + \left(\frac{2b_{я} \omega}{m_{я}}\right)^2}}, \quad (15)$$

$$x_{я4}(t) = \frac{\left| b_{я} \frac{dx_p}{dt}(\omega) + c_{я} x_p(\omega) \right| \sin[\omega t + \Psi - \Psi_{kc} - \Psi_{p2}]}{m_{я} \sqrt{(\omega^2 - \omega_{0я}^2)^2 + \left(\frac{b_{я} \omega}{m_{я}}\right)^2}}, \quad (16)$$

где $\omega_{0я}$ — собственная частота колебаний Я+Н; $\Psi_{kc1} = \text{arctg} \frac{2\omega b_{я}}{4\omega^2 - \omega_{0я}^2}$; $\Psi_{kc2} = \text{arctg} \frac{\omega b_{я}}{\omega^2 - \omega_{0я}^2}$;

$\Psi_{p1} = \text{arctg} \frac{(b_{я} + b_p)2\omega}{4\omega^2 - \omega_{0я}^2}$; $\Psi_{p2} = \text{arctg} \frac{(b_{я} + b_p)\omega}{\omega^2 - \omega_{0я}^2}$; ω_{0p} — собственная частота колебаний РМ.

Итак, из данных выражений видно, что Я совместно с Н совершает гармонические колебания с частотами ω и 2ω при наличии постоянного смещения $x_{я0}$, которое уменьшает воздушный зазор δ_0 до величины $\Delta\delta = \delta_0 - x_{я0}$, а с учетом колебаний — динамический воздушный зазор $\delta = \Delta\delta - \sum_{k=1}^4 x_{яk}(t)$, где $x_{яk}(t)$ — выражения (13)–(16).

Заметим: исследования, представленные в работе [7], показали, что в двухтактных ЭМВ фигурируют только частоты ω . А это значит, что даже с учетом фазового сдвига между $U(t)$ и $i(t)$ в $F(t)$ будут гармоники с частотой ω , поэтому для электромагнитных вибростендов целесообразно осуществлять двухтактный принцип возбуждения вибраций, что, в конечном итоге, обеспечит точность воспроизведения задающих вибронагрузок, действующих на испытуемые объекты. Также с этой целью можно включить в систему управления ЭМВ звено извлечения квадратного корня.

1. *Вибрации в технике*. В 6-ти т. / Под ред. Э.Э. Лавендела. – Москва: Машиностроение, 1981. – Т. 4. – 512 с.
2. *Гордон А. З., Сливинская А. Г.* Электромагнитные вибраторы переменного тока. – Москва: Энергия, 1968. – 200 с.
3. *Пеккер Н. И.* Физическое моделирование электромагнитных механизмов. – Москва: Энергия, 1969. – 65 с.
4. *Божко А. Е., Белых В. И., Мягоколюб К. Б.* Улучшение функциональных возможностей электромагнитных вибростендов // Доп. НАН України. – 2001. – № 10. – С. 100–103.
5. *Бронштейн И. Н., Семендяев К. А.* Справочник по математике. – Москва: ГИТТЛ, 1956. – 608 с.

6. Божко А. Е., Голуб Н. М. Динамико-энергетические связи колебательных систем. – Киев: Наук. думка, 1980. – 188 с.
7. Божко А. Е., Личкатый Е. А., Мякохлеб К. Б. О двухтактном электромагнитном вибровозбудителе // Доп. НАН України. – 2006. – № 5. – С. 90–93.

*Институт проблем машиностроения
им. А. Н. Подгорного НАН Украины, Харьков*

Поступило в редакцию 15.05.2008

Corresponding Member of the NAS of Ukraine **A. E. Bozhko**

On the effect of a phase shift between voltage and current on a tractive force and oscillations of an electromagnetic vibroexciter

The phase shift between voltage and current in an electromagnetic vibroexciter increases the number of frequencies in the harmonics of a tractive force and oscillations of the armature.